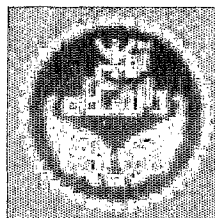
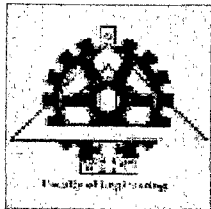


بِسْمِ اللّٰهِ الرَّحْمٰنِ الرَّحِيْمِ

٤٨٩٢٧



۱۳۸۲ / ۴ / ۲۰

دانشگاه تهران

دانشکده فنی

گروه مهندسی برق و کامپیوتر



عنوان:

استفاده از ترکیب اطلاعات سنسوری در بهبود

دقت تیر موشک

نگارش:

ابراهیم شهیدزاده

استاد راهنما: دکتر بهزاد مشیری

استاد مشاور: دکتر علی خاکی صدیق

پایان نامه جهت دریافت کارشناسی ارشد

در رشته مهندسی برق گرایش کنترل

۱۳۸۱

جمهستان

دانشکده فنی

گروه مهندسی برق و کامپیووتر

: موضوع

استفاده از ترکیب اطلاعات سنسوری در بهبود دقت تیر موشک

: نگارش

ابراهیم شهیدزاده

پایان نامه جهت دریافت کارشناسی ارشد
در رشته‌ی مهندسی برق گرایش کنترل

از این پایان نامه در تاریخ ۱۳۸۱/۱۱/۲۷ در مقابل هیئت داوران دفاع
به عمل آمد و مورد تصویب قرار گرفت.

دکتر پرویز جبهه دار مارالانی

مدیر گروه آموزش:

دکتر حمید رضا جمالی

سرپرست تحصیلات تكميلی گروه:

دکتر بهزاد مشیری

استاد راهنمای:

دکتر علی خاکی صدیق

استاد مشاور:

دکتر بابک نجار اعرابی

عضو هیئت داوران:

دکتر مجید نیلی احمد آبادی

عضو هیئت داوران:

دکتر ابوالقاسم نقاش

عضو هیئت داوران:

تقدیم به همه‌ی کسانی که با مجاہدت‌های خاموش خود راه
آزادی، امنیت و عدالت را برای استقرار حکومت جهانی اش، هموار
گردید و می‌گند: برادرانم شهید دکتر مصطفی شهیدزاده، شهید
اسماعیل شهیدزاده... .

سپاس گزاری

من لم یشکر المخلوق لم یشکر الخالق

بعد از سپاس از خداوند متعال و تمام رسولان او، و ائمه‌ی اطهار و تمامی شهداء، به خصوص شهدای دفاع مقدس، امام خمینی (ره) و هم‌چنین تمامی کسانی که در استقرار حکومت اسلامی در این مرز و بوم مخلصانه کوشش کرده اند و می‌کنند، بر خود لازم می‌دانم که در این جا از استادان عزیزم آقایان دکتر مشیری و پروفسور خاکی صدیق که هم در دوران تحصیلات کارشناسی ارشد از کلاس‌های پر بار آن‌ها بهره‌ها بردم و هم‌چنین در طول اجرای این تحقیق از هیچ کمکی مضایقه ننموده‌اند، نهایت تشکر و قدردانی را بنمایم. بی‌شک بدون همکاری مسئولین و کارکنان محترم گروه صنایع شهید باکری و صنایع شهید خرازی انجام این پروژه مهم امکان پذیر نبود. به خصوص، در این جا از آقایان مهندسین اخلاقی کتابچی، فرجی، قهرمانی، رادفر، غفاری و سهیلی و تمامی کسانی که در اجرا و پیاده سازی تست میدانی موفق این تحقیق، حقیر را چه به لحاظ مادی و معنوی کمک نموده اند، سپاسگزاری نمایم. در پایان از صبر و حمایت‌های کلیه‌ی اعضای خانواده عزیزم، به خصوص محمد حسین، که در طول تحصیل متتحمل رنج و مشقت‌های فراوانی شده‌اند، سپاسگزاری نمایم.

ابراهیم شهیدزاده
۱۳۸۱ زمستان

چکیده

در این پایان نامه پس از معرفی تئوری ترکیب اطلاعات سنسوری و مزایای آن، به چند کاربرد نظامی آن اشاره شده است. پس از آن به بیان تفصیلی و بیاده سازی عملی ترکیب اطلاعات سنسورهای تعیین موقعیت اینرسی (IMU) و GPS و GLONASS، با یک الگوریتم خاص و ارزان قیمت برای افزایش دقت تیر موشک می‌پردازیم. هدف از این تحقیق، استفاده از یک الگوریتم نوین در ترکیب اطلاعات سنسورهای فوق در ناوبری موشک می‌باشد به گونه‌ای که در نهایت دقت اصابت موشک به دقت سنسور (گیرنده) GPS/GLONASS برسد چراکه در موشک‌هایی که ناوبری آن برمبنای اینرسی است، واحد اندازه گیر (IMU)، موقعیت موشک را، مستقل از سایر منابع خارجی تعیین می‌کند و در موشک‌های دور برد خطای ناوبری به شدت افزایش می‌یابد. در این حالت می‌توان از اطلاعات سیستم تعیین موقعیت ماهواره‌ای GPS و GLONASS، جهت کاهش خطای ناوبری استفاده نمود. در این مقاله روش جدیدی جهت ترکیب اطلاعات سنسورهای فوق، به گونه‌ای ارایه می‌گردد که، نهایتاً دقت ناوبری موشک به دقت سیستم تعیین موقعیت ماهواره‌ای به رسید. با افزایش دقت تیر موشک، قیمت آن‌ها افزایش می‌یابد و کلاس این موشک‌ها نیز بالا می‌رود.

این گیرنده سنسوری است که با استفاده از فیلتر کالمن یک مرحله ترکیب اطلاعات سنسوری را انجام داده و خروجی آن را به یک دقت بهتری می‌رساند. پس از اجرای الگوریتم ترکیب اطلاعات گیرنده‌ی GPS/GLONASS با IMU، نشان داده می‌شود که ناوبری چگونه با دقت زیادی به دقت گیرنده GPS/GLONASS نزدیک شده است. این در حالی است که با افزایش زمان در طول ناوبری خطای IMU زیاد می‌شود ولی خطای گیرنده در محدوده‌ی خاصی تغییر می‌کند. نتایج حاصل از تست میدانی بیان‌گر آن است که برای ناوبری موشک‌های برد متوسط، در شرایط عادی، این الگوریتم بسیار مناسب می‌باشد. لازم به ذکر است که توسط سیستم ناوبری اینرسی موقعیت و سرعت اجسام متحرک، با انتگرال گیری از شتاب‌های متحرک در دستگاه مختصات مرجع

مناسب، محاسبه می‌گردد. این داده‌ها در سیستم ناوبری اینرسی، به صورت پیوسته و بدون ارتباط با دنیای خارج محاسبه می‌گردد. سیستم ناوبری اینرسی دارای این عیب است که با گذشت زمان، خطای آن بسته به نوع شتاب‌سنج و جایروسکوپی که در آن استفاده می‌شود، به صورت تصاعدی افزایش می‌یابد. بنابراین ناوبری اینرسی برای زمان‌های طولانی پروازی مناسب نمی‌باشد. اما در عوض به دلیل این که با دنیای خارج خود هیچ ارتباط مخابراتی و الکتریکی ندارد، از لحاظ امنیتی هیچ اغتشاشی نمی‌تواند روی آن تأثیر گذارد. در مقابل سیستم‌های تعیین موقعیت ماهواره‌ای GLONASS, GPS دارای خطای محدود و دقت خوبی می‌باشند. لذا این سیستم‌های برای ناوبری های طولانی مدت در شرایط مساعد، مناسب می‌باشند. اما این سیستم‌ها می‌توانند توسط گردانندگان آن مورد اغتشاش قرار گیرد. در این پژوهه برای استفاده حداکثر مزایای این سیستم‌ها و اجتناب از معایب آن‌ها از تئوری ترکیب اطلاعات سنسوری استفاده گردید. به این ترتیب که اولین گام، انتخاب گیرنده‌ای بود که هم بتواند با استفاده از اطلاعات ماهواره‌های GPS و هم GLONASS تعیین موقعیت را انجام دهد و هم بتواند اطلاعات این دو سیستم را با یک فیلتر کالمن بهینه نماید. گام دوم طراحی الگوریتمی بود که با توجه به محدودیت‌های کامپیوتر پرواز موشك، بتواند در حداقل زمان و کمترین حجم محاسبات، این اطلاعات را با اطلاعات IMU ترکیب نماید. این الگوریتم به این گونه عمل می‌نماید که در پایان هر ثانیه، اطلاعات بهینه شده‌ی گیرنده را که، از این به بعد آن را GPS/GLONASS می‌نامیم، را با اطلاعات IMU مقایسه می‌کند سپس تفاوت آن‌ها را با یک ضریب بسیار کوچک، کاهش می‌دهد. آن گاه ناوبری را با این مدار جدید ادامه می‌داد. این روال در هر ثانیه در طول ناوبری تکرار می‌گردید. نتیجه این الگوریتم ترکیب در تست میدانی، بیان‌گر دقت بسیار خوب این نوع ناوبری بوده است و نتیجتاً دقت اصابت تیر موشك را در پی خواهد داشت.

فهرست

فصل اول - مقدمه

۱	- مبانی تئوری ترکیب اطلاعات سنسوری.....
۲-۱-۱-۱- مفاهیم مهم ترکیب اطلاعات سنسوری
۳-۲-۱-۱- سطوح مختلف ترکیب اطلاعات سنسوری
۴-۲-۱-۲- کاربردهای ترکیب اطلاعات سنسوری در عملیات دفاعی
۵-۱-۲-۱- سیستم ضد زیردریایی
۶-۱-۲-۲- جنگ افزارهای هوایی تاکتیکی
۷-۱-۲-۳- میدان نبرد زمینی
۸-۱-۲-۴- ترکیب اطلاعات برای مین‌یابی
۹-۱-۲-۵- هدایت هلی‌کوپتر
۱۰-۱-۲-۶- هدایت زیردریایی بدون خلبان
۱۱-۱-۲-۷- مبانی ترکیب اطلاعات سنسوری در انسان
۱۲-۱-۳- ناویری
۱۳-۱-۴- انواع سیستم‌هایی ناویری
۱۴-۱-۵- ترکیب سیستم‌هایی ناویری
۱۵-۱-۶- کارهای گذشته
۱۶-۱-۷- ساختار پایان‌نامه
۱۷-۲- فصل دوم - مبانی ریاضی سیستم‌های تعیین موقعیت اینرسی
۱۸-۱-۱- مقدمه
۱۹-۱-۲- دستگاه‌های مختصات مورد استفاده در ناویری
۲۰-۱-۳-۱- تبدیل دستگاه‌های مختصات
۲۱-۱-۳-۲- ماتریس کسینوس هادی DCM
۲۲-۱-۳-۳- زوایای اویلر
۲۳-۱-۳-۴- تبدیل مختصات بدنی به مختصات ناویری
۲۴-۲- معادلات حرکت در دستگاه مختصات دوار

فصل ۳- معرفی سیستم های موقعیت یاب جهانی GPS و GLONASS

۲۸ ۱-۳- مقدمه
۲۹ ۲-۳- معرفی سیستم موقعیت یاب جهانی GPS
۲۹ ۳-۳- ساختار مداری منظومه های ماهواره های GPS
۲۹ ۴-۳- رؤیت پذیری ماهواره های GPS و GLONASS و پوشش دهی سطح زمین توسط آن ها
۳۱ ۵-۳- معرفی کلی GLONASS
۳۶ ۶-۳- مقایسه ی GLONASS و GPS
۴۰ ۶-۳- ۱-۶-۳- دستگاه های مختصات مرجع در GPS و GLONASS
۴۱ ۶-۳- ۲-۶-۳- سیگنال ها و نوع تفکیک آن ها
۴۱ ۶-۳- ۳-۶-۳- ماهیت پیغام ناوبری
۴۲ ۷-۳- ۷-۳- مبانی تحلیلی و ریاضی GPS
۴۴ ۷-۳- ۱-۷-۳- شروط رویت شدن ماهواره های GPS
۴۵ ۷-۳- ۲-۷-۳- منابع خطا در GPS و GLONASS
۴۸ ۴- سیستم ناوبری اینرسی (IMU) و معادلات حاکم بر آن ها
۵۰ ۴- ۱-۴- مقدمه
۵۱ ۴- ۲-۴- ژیروسکوپ تنظیم شونده دینامیکی (DTG)
۵۱ ۴- ۳-۴- شتاب سنج
۵۳ ۴- ۴- مدل سازی ژیروسکوپ دو درجه آزادی
۵۴ ۴- ۵- مدل سازی شتاب سنج حلقه بسته
۵۷ ۵- ترکیب اطلاعات سنسورهای GPS و INS (IMU)
۵۸ ۵- ۱-۵- مقدمه
۵۸ ۵- ۲-۵- انواع روش های ترکیب اطلاعات سنسورهای GPS و INS (IMU)
۵۹ ۵- ۱-۲-۵- ترکیب متوازن اطلاعات سنسورهای GPS و INS (IMU) با استفاده از فیلتر کالمن

۵۹	۲-۲-۵- ترکیب کامل اطلاعات سنسورهای GPS و INS (IMU) با استفاده از فیلتر کالمن.....
۶۰	۲-۳-۵- ترکیب متواالی اطلاعات سنسورهای GPS و INS (IMU) با استفاده از فیلتر کالمن و استفاده از تکنیک سنکرون کردن زمان INS (IMU) و GPS (برای دینامیک های شدید پروازی).....
۶۱	۴-۲-۵- ترکیب متواالی اطلاعات سنسورهای GPS و INS (IMU) با استفاده از فیلتر کالمن و منطق فازی برای موقعی که اغتشاشات محدود در GPS ایجاد شود.....
۶۲	۵-۲-۵- ترکیب متواالی اطلاعات سنسورهای GLONASS و GPS (IMU)INS و
۶۳	۳-۵- شرح برنامه ها و الگوریتم های به کار رفته در این پروژه(تحلیل، شبیه سازی، پیاده سازی واقعی).....
۶۴	۳-۵-۱- توصیف چگونگی محاسبه ای خطا در این الگوریتم جدید.....
۶۵	۳-۵-۲- تحلیل مبانی ریاضی الگوریتم جدید برای تصحیح خطای تعیین موقعیت جسم متحرک.....
۶۷	۳-۵-۳- نتایج حاصل از شبیه سازی الگوریتم ترکیب جدید.....
۷۰	۴-۵- پیاده سازی عملی ترکیب اطلاعات سنسورهای فوق، با الگوریتم جدید در میدان تست و بررسی نتایج آن برای یک شی متحرک.....
۷۴	۵-۵- خلاصه و نتیجه گیری.....

۷۵ فصل ۶- نتیجه‌گیری و پیشنهادات
۷۷ مراجع
۸۰ پیوست‌ها
۸۰	الفا - برنامه‌های ترکیب اطلاعات سنسورهای IMU و گیرنده GPS/GLONASS
۸۶	ب - متن مقاله‌ی پذیرفته شده ناشی از این تحقیق در چهارمین کنفرانس انجمن هوا - فضای ایران در بهمن سال ۱۳۸۱ تحت عنوان «استفاده از ترکیب اطلاعات سنسوری برای بهبود دقیقت تیر موشک‌های دور برد»

لیست شکل‌ها

۵ شکل ۱-۱: ترکیب اطلاعات سنسوری در سیستم ضد زیردریایی.
۶ شکل ۱-۲: ترکیب سنسوری در جنگ افزارهای هوایی تاکتیکی.
۷ شکل ۱-۳: ترکیب سنسوری در میدان نبرد زمینی.
۹ شکل ۱-۴: استفاده از ترکیب اطلاعات سنسوری در زیردریایی بدون خلبان با استفاده از رؤیت‌گر غیرخطی (فیلتر کالمون تعمیم یافته).
۱۶ شکل ۲-۱: نمایش سیستم ECEF
۱۷ شکل ۲-۲: بیضی‌گون مینا و مختصات جغرافیایی.
۱۸ شکل ۲-۳: نمایش دستگاه مختصات بدنی.
۱۸ شکل ۲-۴: زاویه‌ی آزیمoot.
۱۹ شکل ۲-۵: زاویه‌ی Elevation
۲۱ شکل ۲-۶: زوایای اویلر ψ, θ, ϕ
۲۵ شکل ۲-۷: استفاده از زوایای اویلر در تبدیل دستگاه بدنی به ناوبری
۲۶ شکل ۲-۸: دستگاه‌های مختصات (X, Y, Z) و (x, y, z)
۳۲ شکل ۳-۱: رد زمینی ماهواره‌ی B1 GPS از منظومه ماهواره‌ای GPS، طی یک شبانه روز.
۳۳ شکل ۳-۲: رد زمینی ماهواره‌ی GLONASS ۷۸ از منظومه ماهواره‌ای GLONASS، طی یک شبانه روز.
۳۶ شکل ۳-۳: موقعیت ماهواره GPS و کاربر زمینی و زاویه‌ی فراز آتن مربوط به آن.
۳۹ شکل ۴-۳: نحوه‌ی قرار گرفتن ماهواره‌ها در منظومه GLONASS
۴۴ شکل ۵-۳: مشخصات مداری ماهواره GPS
۴۵ شکل ۳-۶: موقعیت ماهواره‌های GPS نسبت به گیرنده
۴۶ شکل ۷-۳: مقطع نصف النهاری کره‌ی زمین.
۵۲ شکل ۱-۴: نمای روتور، قاب و محور در ژیروسکوپ DT
۵۳ شکل ۲-۴: بلوك دیاگرام حلقه تعادلی ژیروسکوپ DT
۵۳ شکل ۳-۴: نمای شتاب سنج پاندولی حلقه بسته
۵۵ شکل ۴-۴: نمودار ساده‌ی یک شتاب سنج حلقه بسته نمودار ساده‌ی یک شتاب سنج حلقه بسته
۵۹ شکل ۱-۵: بلوك دیاگرام ترکیب متواالی IMU و GPS
۶۰ شکل ۲-۵: ترکیب کامل اطلاعات سنسور‌های تعیین موقعیت ماهواره‌ای و IMU

۶۱ شکل ۵-۳: بلوک دیاگرام روش ۵-۲-۴ (روش هموار سازی و پیش گویی)
۶۱ شکل ۵-۴: عملکرد هموار سازی اغتشاش بر اساس روش ۵-۲-۴ (روش هموار سازی و پیش گویی)
۶۲ شکل ۵-۵: عملکرد پیش بینی و هموار سازی اغتشاش بر اساس روش ۵-۲-۴
۶۲ شکل ۵-۶: بلوک دیاگرام ساده‌ی روش ۵-۲-۵ (روش ترکیب بدون استفاده از فیلتر کالمن)
۶۵ شکل ۷-۵: بلوک دیاگرام محاسبه‌ی خطای اندازه‌گیری گیرنده‌ی GPS/GLONASS و GPS/GLONASS
۶۸ شکل ۸-۵: نتیجه شبیه سازی الگوریتم در حالت نوسانی و بدون حضور نویز
۶۹ شکل ۹-۵: نتیجه شبیه سازی الگوریتم در حالت پایدار و بدون حضور نویز
۷۰ شکل ۱۰-۵: نتیجه شبیه سازی الگوریتم در حالت نوسانی و با حضور نویز
۷۱ شکل ۱۱-۵: نتیجه شبیه سازی الگوریتم در حالت پایدار و با حضور نویز
۷۱ شکل ۱۲-۵: نمودار تغییرات مکانی گیرنده‌ی IMU و GPS/GLONASS در میدان تست عملی
۷۱ شکل ۱۳-۵: نمودار تغییرات مکانی گیرنده‌ی IMU و GPS/GLONASS در میدان تست عملی
۷۲ شکل ۱۴-۵: نمودار تغییرات مکانی گیرنده‌ی IMU و GPS/GLONASS در میدان تست عملی
۷۲ شکل ۱۵-۵: نمودار تغییرات سرعت گیرنده‌ی IMU و GPS/GLONASS در میدان تست عملی
۷۲ شکل ۱۶-۵: نمودار تغییرات سرعت گیرنده‌ی IMU و GPS/GLONASS در میدان تست عملی
۷۳ شکل ۱۷-۵: نمودار تغییرات سرعت گیرنده‌ی IMU و GPS/GLONASS در میدان تست عملی
۷۳ شکل ۱۸-۵: نمودار تغییرات زاویه‌ای گیرنده‌ی IMU و GPS/GLONASS در میدان تست عملی
۷۳ شکل ۱۹-۵: نمودار تغییرات زاویه‌ای گیرنده‌ی IMU در میدان Pitch

۷۴

شکل ۱۹-۵: نمودار تغییرات زاویه ای گیرنده‌ی GPS/GLONASS و
درمحور Roll IMU در میدان تست عملی.....

۷۴

شکل ۲۰-۵: نمودار تغییرات زاویه ای گیرنده‌ی GPS/GLONASS و
درمحور Yaw IMU در میدان تست عملی.....

فصل اول

مقدمة